

Prowadzący instalację:

P4 Sp. z o. o.
ul. Wynalazek 1
02-677 Warszawa

Warszawa, 2022-09-28

Adres do korespondencji:

P4 Sp. z o. o.
ul. Wynalazek 1,
02-677 Warszawa

Urząd Miejski w Białymstoku
Departament Ochrony Środowiska

Przedłożenie informacji o zmianie danych w instalacji

o których mowa w przedłożeniu informacji dla BIA1030A z dnia 2021-07-07

dotyczy: informacji o zmianie w zakresie danych w przedłożeniu informacji dla BIA1030A.

Podstawa prawna: ustawa z dnia 27 kwietnia 2001 r. Prawo ochrony środowiska, art. 152, ust 6, pkt 1, lit. c)

Niniejsza informacja zawiera wyłącznie dane, które uległy zmianie.

1) Oznaczenie prowadzącego instalację, jego adres zamieszkania lub siedziby.

Brak zmian.

2) Adres zakładu, na którego terenie prowadzona jest eksploatacja instalacji.

15-660 Białystok, Słonecznikowa 8, gm. Białystok, pow. Białystok

3) Rodzaj i zakres prowadzonej działalności, w tym wielkość produkcji lub wielkość świadczonych usług.

Usługi telekomunikacyjne, transmisja danych: 1TB/doba.

4) Czas funkcjonowania instalacji (dni tygodnia i godziny).

Brak zmian.

5) Wielkość i rodzaj emisji.

Dane przed zmianą:

L.p.	Nazwa anteny	Wysokość [m n.p.t.]	Rodzaj emisji	Równoważna moc promieniowana izotropowo	Azymut	Kąt pochylenia	Częstotliwość
------	--------------	------------------------	------------------	--	--------	-------------------	---------------

1	11_HLN	26	PEM	4920 W	80°	0-8°	1800 MHz
2	11_HLN	26	PEM	5001 W	80°	0-8°	2600 MHz
3	12_GHLNTV	26	PEM	933 W	80°	0-8°	800 MHz
4	12_GHLNTV	26	PEM	768 W	80°	0-8°	900 MHz
5	12_GHLNTV	26	PEM	4742 W	80°	0-8°	2100 MHz
6	21_HLN	41	PEM	6045 W	160°	0-5°	1800 MHz
7	21_HLN	41	PEM	6690 W	160°	0-5°	2100 MHz
8	21_HLN	41	PEM	7229 W	160°	0-5°	2600 MHz
9	21_HLN	41	PEM	6045 W	220°	0-5°	1800 MHz
10	21_HLN	41	PEM	6690 W	220°	0-5°	2100 MHz
11	21_HLN	41	PEM	7229 W	220°	0-5°	2600 MHz
12	22_GTV	41	PEM	1297 W	190°	0-8°	800 MHz
13	22_GTV	41	PEM	1189 W	190°	0-8°	900 MHz
14	31_HLN	38	PEM	6045 W	0°	0-4°	1800 MHz
15	31_HLN	38	PEM	6690 W	0°	0-4°	2100 MHz
16	31_HLN	38	PEM	7229 W	0°	0-4°	2600 MHz
17	31_HLN	38	PEM	6045 W	300°	0-6°	1800 MHz
18	31_HLN	38	PEM	6690 W	300°	0-6°	2100 MHz
19	31_HLN	38	PEM	7229 W	300°	0-6°	2600 MHz
20	32_GTV	38	PEM	1446 W	330°	0-12°	800 MHz
21	32_GTV	38	PEM	1303 W	330°	0-12°	900 MHz
22	RL1	41	PEM	7079 W	100°		80 GHz
23	RL2	41	PEM	1413 W	112°		80 GHz
24	RL3	41	PEM	7079 W	148°		80 GHz
25	RL4	43	PEM	1413 W	269°		80 GHz
26	RL5	39	PEM	7079 W	302°		80 GHz

Dane po zmianie:

L.p.	Nazwa anteny	Wysokość [m n.p.t.]	Rodzaj emisji	Równoważna moc promieniowana izotropowo	Azymut	Kąt pochylenia	Częstotliwość
1	11_HLN	26	PEM	10070 W	80°	0-12°	1800 MHz
2	11_HLN	26	PEM	11196 W	80°	0-12°	2100 MHz
3	11_HLN	26	PEM	10002 W	80°	0-12°	2600 MHz
4	12_GTV	26	PEM	1400 W	80°	0-14°	800 MHz
5	12_GTV	26	PEM	1024 W	80°	0-14°	900 MHz
6	21_GTV	41	PEM	1945 W	190°	0-12°	800 MHz
7	21_GTV	41	PEM	1585 W	190°	0-12°	900 MHz
8	22_HL	41	PEM	5916 W	159°	2-12°	1800 MHz
9	22_HL	41	PEM	6109 W	159°	2-12°	2100 MHz
10	22_HL	41	PEM	6904 W	159°	2-12°	2600 MHz
11	22_HL	41	PEM	5916 W	221°	2-12°	1800 MHz
12	22_HL	41	PEM	6109 W	221°	2-12°	2100 MHz
13	22_HL	41	PEM	6904 W	221°	2-12°	2600 MHz
14	23_HN	41	PEM	5916 W	159°	2-12°	1800 MHz
15	23_HN	41	PEM	6109 W	159°	2-12°	2100 MHz
16	23_HN	41	PEM	6904 W	159°	2-12°	2600 MHz
17	23_HN	41	PEM	5916 W	221°	2-12°	1800 MHz
18	23_HN	41	PEM	6109 W	221°	2-12°	2100 MHz

19	23_HN	41	PEM	6904 W	221°	2-12°	2600 MHz
20	31_GTV	38	PEM	2168 W	330°	0-12°	800 MHz
21	31_GTV	38	PEM	1738 W	330°	0-12°	900 MHz
22	32_HL	38	PEM	6053 W	1°	2-12°	1800 MHz
23	32_HL	38	PEM	6281 W	1°	2-12°	2100 MHz
24	32_HL	38	PEM	6904 W	1°	2-12°	2600 MHz
25	32_HL	38	PEM	6053 W	299°	2-12°	1800 MHz
26	32_HL	38	PEM	6281 W	299°	2-12°	2100 MHz
27	32_HL	38	PEM	6904 W	299°	2-12°	2600 MHz
28	33_HN	38	PEM	6053 W	1°	2-12°	1800 MHz
29	33_HN	38	PEM	6281 W	1°	2-12°	2100 MHz
30	33_HN	38	PEM	6904 W	1°	2-12°	2600 MHz
31	33_HN	38	PEM	6053 W	299°	2-12°	1800 MHz
32	33_HN	38	PEM	6281 W	299°	2-12°	2100 MHz
33	33_HN	38	PEM	6904 W	299°	2-12°	2600 MHz
34	RL1	41	PEM	7586 W	100°		80 GHz
35	RL2	43	PEM	1413 W	269°		80 GHz
36	RL3	39	PEM	7586 W	302°		80 GHz

6) Opis stosowanych metod ograniczania wielkości emisji.

Brak zmian.

7) Informacja, czy stopień ograniczania wielkości emisji jest zgodny z obowiązującymi przepisami.

Stopień ograniczenia wielkości emisji jest zgodny z obowiązującymi przepisami.

8) (uchylony)

-/-

9) Sprawozdanie z wykonanych pomiarów poziomów pól EM, o których mowa w art. 122a ust. 1 pkt 1.

Sprawozdanie nr 94/09/OŚ/2022 – P4-W z dnia 2022-09-15, Nr akredytacji PCA – AB 1630.

Koordynator OŚ
Agnieszka Kalinowska
kom. 790004787

Podpis jest prawidłowy

Dokument podpisany przez
AGNIESZKA
KALINOWSKA
Data: 2022.09.28 12:33:38
CEST



Laboratorium EMVO Sp. J. Urbański, Pawelak
ul. Jasna 1
00-013 Warszawa

tel. +48 22 780 29 64

e-mail: laboratorium@emvo.pl



AB 1630

Sprawozdanie z pomiarów pól elektromagnetycznych - środowisko nr 94/09/OŚ/2022– P4-W



Nr i nazwa stacji	BIA1030A	
Adres	Białystok, Słonecznikowa 8, pow. Białystok, woj. podlaskie	
Opracowanie	[Redacted]	Specjalista ds. pomiarów
Autoryzacja		Kierownik Laboratorium
Podpis	[Redacted]	
Data	2022-09-15	

Spis treści

1. Informacje ogólne.....	3
2. Podstawa prawna.	3
3. Opis pomiarów.....	4
4. Zróżnicowanie dopuszczalne poziomy pól elektromagnetycznych.....	5
5. Charakterystyka źródeł PEM.....	5
6. Wyniki pomiarów.....	5
7. Stwierdzenie zgodności	7
8. Oświadczenie.....	9
9. Spis załączników.	9

1. Informacje ogólne.

Zleceniodawca	P4 sp. z o.o., ul. Wynałazek 1, 02-677 Warszawa osoba udzielająca informacji- [REDAKTOWANE]
Istotne informacje dostarczone przez klienta	komplet informacji niezbędnych do wykonania pomiarów i opracowania sprawozdania
Dane otrzymane od klienta mogące mieć wpływ na ważność wyników	Dane anten sektorowych, dane anten radioliniowych, parametry pracy instalacji, ustawienie pochylenia anten
Prowadzący instalację	P4 sp. z o.o., ul. Wynałazek 1, 02-677 Warszawa
Lokalizacja obiektu	Białystok, Słonecznikowa 8, pow. Białystok, woj. podlaskie
Miejsce instalacji anten	Wieża kościoła
Miejsce instalacji urządzeń	Indoor
Osoby wykonujące pomiar	[REDAKTOWANE]
Data wykonania pomiaru	15.09.2022
Temperatura na początku pomiaru [°C]	18,0
Temperatura na koniec pomiaru [°C]	18,0
Warunki atmosferyczne	Brak opadów
Wilgotność na początku pomiaru [%]	60,0
Wilgotność na koniec pomiaru [%]	60,0
Godzina na początku pomiaru	11:28
Godzina na koniec pomiaru	13:15
Inne źródła pól elektromagnetycznych oznaczone na załączniku graficznym	Występują inne źródła PEM
Parametry pracy instalacji	Tryb eksploatacyjny

2. Podstawa prawna.

2.1 Normy i rozporządzenia:

- Rozporządzeniem Ministra Klimatu z dnia 17 lutego 2020 r. w sprawie sposobów sprawdzania dotrzymania dopuszczalnych poziomów pól elektromagnetycznych w środowisku (Dz.U. 2020 poz. 258)
- Rozporządzenie Ministra Zdrowia z dnia 17 grudnia 2019 r. w sprawie dopuszczalnych poziomów pól elektromagnetycznych w środowisku (Dz.U. 2019 poz. 2448)
- Obwieszczenie Marszałka Sejmu Rzeczypospolitej Polskiej z dnia 19 lipca 2019 r. w sprawie ogłoszenia jednolitego tekstu ustawy - Prawo ochrony środowiska (Dz.U. 2019 poz. 1396)
- Rozporządzenie Ministra Klimatu i Środowiska z dnia 6 maja 2022 r. zmieniające rozporządzenie w sprawie sposobów sprawdzania dotrzymywania dopuszczalnych poziomów pól elektromagnetycznych w środowisku (Dz.U. 2022 poz. 1121).

„Bez pisemnej zgody Laboratorium niniejsze sprawozdanie nie może być powielane inaczej, jak tylko w całości. Ponadto wyniki dotyczą tylko badanych obiektów przywołanych w niniejszym sprawozdaniu z badań”

3. Opis pomiarów

Metodologia pomiarowa	Pomiary w oparciu o Rozporządzeniem Ministra Klimatu z dnia 17 lutego 2020 r. w sprawie sposobów sprawdzania dotrzymania dopuszczalnych poziomów pól elektromagnetycznych w środowisku (Dz.U. 2020 poz. 258) oraz Rozporządzenie Ministra Klimatu i Środowiska z dnia 6 maja 2022 r. zmieniające rozporządzenie w sprawie sposobów sprawdzania dotrzymywania dopuszczalnych poziomów pól elektromagnetycznych w środowisku (Dz.U. 2022 poz. 1121).
Cel badań	Określenie wartości natężenia pola elektrycznego w miejscach dostępnych dla ludności.
Opis zestawu pomiarowego	Miernik Narda NBM 550, Sonda EF9091, o zakresie pomiarowym 0,7 V/m - 300V/m pracująca w paśmie 0,1 – 90 GHz, świadectwo wydane przez Laboratorium Wzorców i Metrologii Pola Elektromagnetycznego, Instytut Telekomunikacji, Teleinformatyki i Akustyki Politechniki Wrocławskiej. Świadectwo ważne do 10.06.2024r. Miernik Narda NBM 550, Sonda EF9091 pracująca w zakresie temperatury -10°C - +50°C oraz wilgotności 5% - 95%. Niepewność rozszerzona 59 % przy poziomie ufności 95% z uwzględnieniem współczynnika rozszerzenia k=2.
Wyposażenie pomocnicze	Termohigrometr Bestone, typ: GM1362-EN-00, nr identyfikacyjny 1222436, świadectwo wzorcowania z dn. 03.04.2017r. wydane przez Laboratorium Pomiarowe "MUTECH". Przymiar wstępowy STABILA, nr identyfikacyjny 5/WL/2016, świadectwo wzorcowania z dn. 06.09.2016 r. wydane przez Zespół Laboratoriów wzorcujących Okręgowego Urzędu Miar w Gdańsku. Dalmierz laserowy BOSH GLM 40, Świadectwo wzorcowania L4-L41.4180.141.2018.3061.1 z dnia 12 września 2018 wydane przez Pracownia Długości Samodzielnego Laboratorium Długości w Głównym Urzędzie Miar. GPS Garmin 64s okresowo sprawdzany w punktach osnowy geodezyjnej klasy 3 na podstawie licencji punktu, zgodnie z procedurą sprawdzeń okresowych IS/PO-16-11/03.
Pomiary zostały wykonane	<ol style="list-style-type: none">1. na głównych i pomocniczych kierunkach pomiarowych, na kierunkach zbliżonych do azymutów anten oraz w dodatkowych pionach pomiarowych zgodnie z wymaganiami pkt 12, 13, 14 i 19 Rozporządzenia Ministra Klimatu z dnia 17 lutego 2020 r. (Dz. U. 2020, poz. 258) oraz Rozporządzenia Ministra Klimatu i Środowiska z dnia 6 maja 2022 r. zmieniającego rozporządzenie w sprawie sposobów sprawdzania dotrzymywania dopuszczalnych poziomów pól elektromagnetycznych w środowisku (Dz.U. 2022 poz. 1121).2. na obszarze pomiarowym, dla którego, na podstawie uprzednio przeprowadzonych obliczeń stwierdzono w miejscach dostępnych dla ludności występowanie pól elektromagnetycznych o najwyższym poziomie, które pochodzą z badanej instalacji zgodnie z wymaganiami pkt 5 ppkt 2 oraz pkt 13 ppkt 1 Rozporządzenia Ministra Klimatu z dnia 17 lutego 2020 r. w sprawie sposobów sprawdzania dotrzymania dopuszczalnych poziomów pól elektromagnetycznych w środowisku (Dz. U. 2020, poz. 258) oraz Rozporządzenia Ministra Klimatu i Środowiska z dnia 6 maja 2022 r. zmieniającego rozporządzenie w sprawie sposobów sprawdzania dotrzymywania dopuszczalnych poziomów pól elektromagnetycznych w środowisku (Dz.U. 2022 poz. 1121). Wyniki obliczeń nie uwzględniały parametrów pracy instalacji innych operatorów występujących na obiekcie bądź w obszarze pomiarowym.3. w miejscach dostępnych dla ludności.

„Bez pisemnej zgody Laboratorium niniejsze sprawozdanie nie może być powielane inaczej, jak tylko w całości. Ponadto wyniki dotyczą tylko badanych obiektów przywołanych w niniejszym sprawozdaniu z badań”

4. miejsca niedostępne podczas wykonywania pomiarów wskazane zostały w pkt 6 (tabeli wyniki pomiarów).

Szczególne warunki podczas wykonywania pomiarów Pomiary wykonane zostały podczas obowiązywania w kraju stanu zagrożenia epidemicznego, zgodnie z art. 122a ust. 1b Ustawy z dnia 27 kwietnia 2001 r. – Prawo ochrony środowiska (Dz. U. z 2019 r. poz. 1396, z późn. zm.9)).

Warunki pracy urządzeń nadawczych Tryb pracy eksploatacyjny.

4. Zróżnicowanie dopuszczalne poziomy pól elektromagnetycznych.

Zakresy znajdują się w Dzienniku Ustaw z dnia 17 grudnia 2019 r. przedstawione są w tabeli nr 2 (Dz. U. z 2019r. poz. 2448).

Parametr fizyczny	Składowa elektryczna E (V/m)	Składowa magnetyczna H (A/m)	Gęstość mocy S (W/m ²)
Zakres Częstotliwości pola elektromagnetycznego			
od 400 MHz do 2000 MHz	$1,375 \times f^{0,5}$	$0,0037 \times f^{0,5}$	f / 200
od 2 GHz do 300 GHz	61	0,16	10

5. Charakterystyka źródeł PEM.

Zgodnie z informacją otrzymaną od Klienta pomiary zostały wykonane przy ustawieniach pochylenia anten zgodnych z pkt. 13, ppkt 2 Rozporządzenia Ministra Klimatu z dnia 17 lutego 2020 roku.

Tabela 1. Anteny sektorowe - dane otrzymane od klienta

Charakterystyka promieniowania		kierunkowa										
Rzeczywisty czas pracy [h/dobę]		24										
Rodzaj wytwarzanego pola		stacjonarne										
Lp	Wyszczególnienie	sektor 1					sektor 2					
I Nadajnik stacji bazowej:												
1	Typ / Producent	RBS / SRAN Ericsson										
2	Częstotliwość (pasmo) MHz	2600	2100	1800	2600	2100	1800	2600	2100	1800	900	800
3	Maksymalna moc nadawana na sektor [dBm]	49,03	50	50	49,03	50	50	52,04	53,01	53,01	46,02	47,78
II Obciążenie:												
1	Typ anteny	Huawei AMB4519R6		Huawei AMB4519R6			Huawei ADU4518R6			Kathrein 742264		
2	Producent anteny	Huawei		Huawei			Huawei			Kathrein		
3	Ilość anten	1		1			1			1		
4	Azymut	1					80					
5	Zakres kątów pochylenia anten [°]	2,00-12,00					0,00-12,00	0,00-12,00	0,00-12,00	0,00-14,00	0,00-14,00	
6	Wysokość zainst. n.p.t. [m]	38,00					26,00					
7	EIRP [W]	19238		19238			31268			2424		

Charakterystyka promieniowania		kierunkowa							
Rzeczywisty czas pracy [h/dobę]		24							
Rodzaj wytwarzanego pola		stacjonarne							
Lp	Wyszczególnienie	sektor 3				sektor 4			
I Nadajnik stacji bazowej:									
1	Typ / Producent	RBS / SRAN Ericsson							
2	Częstotliwość (pasmo) MHz	2600	2100	1800	2600	2100	1800	900	800
3	Maksymalna moc nadawana na sektor [dBm]	49,03	50	50	49,03	50	50	46,02	47,78
II Obciążenie:									
1	Typ anteny	Huawei AMB4519R6		Huawei AMB4519R6		Huawei ADU4516R0			
2	Producent anteny	Huawei		Huawei		Huawei			
3	Ilość anten	1		1		1			
4	Azymut	159		159		190			
5	Zakres kątów pochyleń anten [°]	2,00-12,00		2,00-12,00		0,00-12,00			
6	Wysokość zainst. n.p.t. [m]	41,00		41,00		41,00			
7	EIRP [W]	18929		18929		3530			

Charakterystyka promieniowania		kierunkowa													
Rzeczywisty czas pracy [h/dobę]		24													
Rodzaj wytwarzanego pola		stacjonarne													
Lp	Wyszczególnienie	sektor 5				sektor 6				sektor 7					
I Nadajnik stacji bazowej:															
1	Typ / Producent	RBS / SRAN Ericsson													
2	Częstotliwość (pasmo) MHz	2600	2100	1800	2600	2100	1800	2600	2100	1800	2600	2100	1800	900	800
3	Maksymalna moc nadawana na sektor [dBm]	49,03	50	50	49,03	50	50	49,03	50	50	49,03	50	50	46,02	47,78
II Obciążenie:															
1	Typ anteny	Huawei AMB4519R6		Huawei AMB4519R6		Huawei AMB4519R6		Huawei AMB4519R6		Huawei ADU4516R0					
2	Producent anteny	Huawei		Huawei		Huawei		Huawei		Huawei					
3	Ilość anten	1		1		1		1		1					
4	Azymut	221		221		299		299		330					
5	Zakres kątów pochyleń anten [°]	2,00-12,00		2,00-12,00		2,00-12,00		2,00-12,00		0,00-12,00					
6	Wysokość zainst. n.p.t. [m]	41,00		41,00		38		38		38					
7	EIRP [W]	18929		18929		19238		19238		3906					

Tabela 2. Anteny radioliniowe- dane otrzymane od klienta

Charakterystyka promieniowania				kierunkowa			
Rzeczywisty czas pracy [h/dobę]				24			
Rodzaj wytwarzanego pola				stacjonarne			
Lp	Linia radiowa			Antena			
	typ/producent	częstotliwość pracy [GHz]	moc wyjściowa [dBm]	typ/producent	średnica anteny [m]	azymut [°]	wysokość zainstal. [m]
1	OPTIX RTN/HUAWEI	80	18	VHLP2-80/Andrew	0,6	100	41,00
2	OPTIX RTN/HUAWEI	80	18	VHLP1-80/Andrew	0,3	269	43,00
3	OPTIX RTN/HUAWEI	80	18	VHLP2-80/Andrew	0,6	302	39,00

„Bez pisemnej zgody Laboratorium niniejsze sprawozdanie nie może być powielane inaczej, jak tylko w całości. Ponadto wyniki dotyczą tylko badanych obiektów przywołanych w niniejszym sprawozdaniu z badań”

6. Wyniki pomiarów.

Wyniki pomiarów pól elektromagnetycznych dla celów ochrony środowiska przedstawia poniższa tabela. Piony pomiarowe zostały przedstawione w zał. 2.

Nr PP	Pole-E [V/m]	Pole-E, +U [V/m]	Pole-H [A/m]	Pole-H +U [A/m]	Wys. pomiaru [m]	Opis pionu	Uwagi	WM _E	WM _H
1	1,8	2,86	0,005	0,008	0,3-2,0	N:53°07'35,8" E:23°06'07,3"	otoczenie stacji bazowej - 100m wzdłuż gł. osi promieniowania - GKP	0,102	0,104
2	0,7*	1,27	0,002	0,003	0,3-2,0	N:53°07'37,8" E:23°06'07,6"	otoczenie stacji bazowej - 150m wzdłuż gł. osi promieniowania - GKP	0,045	0,046
3	0,7*	1,27	0,002	0,003	0,3-2,0	N:53°07'39,1" E:23°06'07,6"	otoczenie stacji bazowej - 200m wzdłuż gł. osi promieniowania - GKP	0,045	0,046
4	0,7*	1,27	0,002	0,003	0,3-2,0	N:53°07'43,8" E:23°06'08,1"	otoczenie stacji bazowej - 350m wzdłuż gł. osi promieniowania - GKP	0,045	0,046
5	0,7*	1,27	0,002	0,003	0,3-2,0	N:53°07'45,0" E:23°06'08,2"	otoczenie stacji bazowej - 380m wzdłuż gł. osi promieniowania - GKP	0,045	0,046
6	1,8	2,86	0,005	0,008	0,3-2,0	N:53°07'33,0" E:23°06'10,2"	otoczenie stacji bazowej - 50m wzdłuż gł. osi promieniowania - GKP	0,102	0,104
7	0,7*	1,27	0,002	0,003	0,3-2,0	N:53°07'33,7" E:23°06'21,1"	otoczenie stacji bazowej - 260m wzdłuż gł. osi promieniowania - GKP	0,045	0,046
8	1,8	2,86	0,005	0,008	0,3-2,0	N:53°07'31,0" E:23°06'07,9"	otoczenie stacji bazowej - 50m wzdłuż gł. osi promieniowania - GKP	0,102	0,104
9	1,7	2,70	0,005	0,007	0,3-2,0	N:53°07'29,3" E:23°06'08,7"	otoczenie stacji bazowej - 100m wzdłuż gł. osi promieniowania - GKP	0,097	0,098
10	1,6	2,54	0,004	0,007	0,3-2,0	N:53°07'27,9" E:23°06'09,4"	otoczenie stacji bazowej - 150m wzdłuż gł. osi promieniowania - GKP	0,091	0,092
11	1,3	2,07	0,003	0,005	0,3-2,0	N:53°07'26,4" E:23°06'10,0"	otoczenie stacji bazowej - 200m wzdłuż gł. osi promieniowania - GKP	0,074	0,075
12	0,7*	1,27	0,002	0,003	0,3-2,0	N:53°07'23,1" E:23°06'11,8"	otoczenie stacji bazowej - 300m wzdłuż gł. osi promieniowania - GKP	0,045	0,046
13	0,7*	1,27	0,002	0,003	0,3-2,0	N:53°07'21,8" E:23°06'12,7"	otoczenie stacji bazowej - 350m wzdłuż gł. osi promieniowania - GKP	0,045	0,046
14	0,7*	1,27	0,002	0,003	0,3-2,0	N:53°07'20,0" E:23°06'13,2"	otoczenie stacji bazowej - 410m wzdłuż gł. osi promieniowania - GKP	0,045	0,046
15	1,7	2,70	0,005	0,007	0,3-2,0	N:53°07'29,2" E:23°06'05,8"	otoczenie stacji bazowej - 100m wzdłuż gł. osi promieniowania - GKP	0,097	0,098
16	0,7*	1,27	0,002	0,003	0,3-2,0	N:53°07'26,3" E:23°06'04,5"	otoczenie stacji bazowej - 200m wzdłuż gł. osi promieniowania - GKP	0,045	0,046
17	0,7*	1,27	0,002	0,003	0,3-2,0	N:53°07'23,2" E:23°06'03,2"	otoczenie stacji bazowej - 300m wzdłuż gł. osi promieniowania - GKP	0,045	0,046
18	0,7*	1,27	0,002	0,003	0,3-2,0	N:53°07'21,6" E:23°06'02,6"	otoczenie stacji bazowej - 350m wzdłuż gł. osi promieniowania - GKP	0,045	0,046
19	0,7*	1,27	0,002	0,003	0,3-2,0	N:53°07'19,8" E:23°06'01,5"	otoczenie stacji bazowej - 410m wzdłuż gł. osi promieniowania - GKP	0,045	0,046
20	0,7*	1,27	0,002	0,003	0,3-2,0	N:53°07'31,1" E:23°06'04,5"	otoczenie stacji bazowej - 50m wzdłuż gł. osi promieniowania - GKP	0,045	0,046
21	1,0	1,59	0,003	0,004	0,3-2,0	N:53°07'30,3" E:23°06'03,4"	otoczenie stacji bazowej - 100m wzdłuż gł. osi promieniowania - GKP	0,057	0,058
22	1,0	1,59	0,003	0,004	0,3-2,0	N:53°07'29,2" E:23°06'01,8"	otoczenie stacji bazowej - 150m wzdłuż gł. osi promieniowania - GKP	0,057	0,058
23	1,4	2,23	0,004	0,006	0,3-2,0	N:53°07'27,9" E:23°05'59,4"	otoczenie stacji bazowej - 200m wzdłuż gł. osi promieniowania - GKP	0,080	0,081
24	2,2	3,50	0,006	0,009	0,3-2,0	N:53°07'33,5" E:23°06'04,5"	otoczenie stacji bazowej - 50m wzdłuż gł. osi promieniowania - GKP	0,125	0,127
25	0,7*	1,27	0,002	0,003	0,3-2,0	N:53°07'37,8" E:23°05'53,2"	otoczenie stacji bazowej - 300m wzdłuż gł. osi promieniowania - GKP	0,045	0,046
26	0,7*	1,27	0,002	0,003	0,3-2,0	N:53°07'39,1" E:23°05'49,7"	otoczenie stacji bazowej - 380m wzdłuż gł. osi promieniowania - GKP	0,045	0,046
27	2,1	3,34	0,006	0,009	0,3-2,0	N:53°07'34,1" E:23°06'05,8"	otoczenie stacji bazowej - 50m wzdłuż gł. osi promieniowania - GKP	0,119	0,121
28	1,3	2,07	0,003	0,005	0,3-2,0	N:53°07'35,8" E:23°06'04,5"	otoczenie stacji bazowej - 110m wzdłuż gł. osi promieniowania - GKP	0,074	0,075

„Bez pisemnej zgody Laboratorium niniejsze sprawozdanie nie może być powielane inaczej, jak tylko w całości. Ponadto wyniki dotyczą tylko badanych obiektów przywołanych w niniejszym sprawozdaniu z badań”

29	1,4	2,23	0,004	0,006	0,3-2,0	N:53°07'36,9" E:23°06'03,3"	otoczenie stacji bazowej - 150m wzdłuż gł. osi promieniowania - GKP	0,080	0,081
30	0,7*	1,27	0,002	0,003	0,3-2,0	N:53°07'39,2" E:23°06'01,6"	otoczenie stacji bazowej - 225m wzdłuż gł. osi promieniowania - GKP	0,045	0,046
31	0,7*	1,27	0,002	0,003	0,3-2,0	N:53°07'42,8" E:23°05'58,2"	otoczenie stacji bazowej - 300m wzdłuż gł. osi promieniowania - GKP	0,045	0,046
32	0,7*	1,27	0,002	0,003	0,3-2,0	N:53°07'43,8" E:23°05'57,5"	otoczenie stacji bazowej - 380m wzdłuż gł. osi promieniowania - GKP	0,045	0,046
33	1,3	2,07	0,003	0,005	0,3-2,0	N:53°07'32,0" E:23°06'11,8"	otoczenie stacji bazowej - 100m wzdłuż gł. osi promieniowania - GKP	0,074	0,075
34	1,6	2,54	0,004	0,007	0,3-2,0	N:53°07'32,7" E:23°06'04,2"	otoczenie stacji bazowej - 50m wzdłuż gł. osi promieniowania - GKP	0,091	0,092
35	1,3	2,07	0,003	0,005	0,3-2,0	N:53°07'32,9" E:23°06'02,2"	otoczenie stacji bazowej - 100m wzdłuż gł. osi promieniowania - GKP	0,074	0,075
36	1,1	1,75	0,003	0,005	0,3-2,0	N:53°07'33,0" E:23°05'58,8"	otoczenie stacji bazowej - 150m wzdłuż gł. osi promieniowania - GKP	0,062	0,064
37	1,6	2,54	0,004	0,007	0,3-2,0	N:53°07'35,5" E:23°06'09,3"	otoczenie stacji bazowej - GKP	0,091	0,092
38	1,5	2,39	0,004	0,006	0,3-2,0	N:53°07'31,3" E:23°06'09,7"	otoczenie stacji bazowej - GKP	0,085	0,087
39	1,5	2,39	0,004	0,006	0,3-2,0	N:53°07'30,5" E:23°06'10,9"	otoczenie stacji bazowej - GKP	0,085	0,087
40	1,2	1,91	0,003	0,005	0,3-2,0	N:53°07'31,7" E:23°06'03,4"	otoczenie stacji bazowej - GKP	0,068	0,069
41	1,5	2,39	0,004	0,006	0,3-2,0	N:53°07'31,4" E:23°06'02,0"	otoczenie stacji bazowej - GKP	0,085	0,087
A	1,4	2,23	0,004	0,006	0,3-2,0	N:53°07'26,1" E:23°05'57,2"	Galeria Handlowa, pomiar przed budynkiem - DPP	0,080	0,081
B	1,7	2,70	0,005	0,007	0,3-2,0	N:53°07'27,5" E:23°06'05,2"	Słonecznikowa 17, pomiar przed budynkiem - DPP	0,097	0,098
C	0,7*	1,27	0,002	0,003	0,3-2,0	N:53°07'24,5" E:23°06'03,8"	Słonecznikowa 23, pomiar przed budynkiem - DPP	0,045	0,046
D	0,7*	1,27	0,002	0,003	0,3-2,0	N:53°07'20,3" E:23°06'02,0"	Słonecznikowa 27, pomiar przed budynkiem - DPP	0,045	0,046
E	0,7*	1,27	0,002	0,003	0,3-2,0	N:53°07'23,7" E:23°06'11,1"	Różana 9, pomiar przed budynkiem - DPP	0,045	0,046
F	1,3	2,07	0,003	0,005	0,3-2,0	N:53°07'25,7" E:23°06'11,2"	Różana 3, pomiar przed budynkiem - DPP	0,074	0,075
G	1,3	2,07	0,003	0,005	0,3-2,0	N:53°07'30,6" E:23°06'14,1"	Słonecznikowa 4, pomiar przed budynkiem - DPP	0,074	0,075
H	1,4	2,23	0,004	0,006	0,3-2,0	N:53°07'32,0" E:23°06'09,9"	Słonecznikowa 8, pomiar przed budynkiem - DPP	0,080	0,081
I	1,7	2,70	0,005	0,007	0,3-2,0	N:53°07'37,2" E:23°06'02,4"	Upalna 9, pomiar przed budynkiem - DPP	0,097	0,098
J	0,7*	1,27	0,002	0,003	0,3-2,0	N:53°07'40,2" E:23°06'01,9"	Upalna 88, pomiar przed budynkiem - DPP	0,045	0,046
K	0,7*	1,27	0,002	0,003	0,3-2,0	N:53°07'40,0" E:23°06'00,1"	Upalna 88a, pomiar przed budynkiem - DPP	0,045	0,046
L	0,7*	1,27	0,002	0,003	0,3-2,0	N:53°07'40,8" E:23°05'59,1"	Upalna 94, pomiar przed budynkiem - DPP	0,045	0,046
M	1,8	2,86	0,005	0,008	0,3-2,0	N:53°07'36,6" E:23°06'07,2"	Upalna 7, pomiar przed budynkiem - DPP	0,102	0,104
N	0,7*	1,27	0,002	0,003	0,3-2,0	N:53°07'38,4" E:23°06'07,6"	Upalna 68/1, pomiar przed budynkiem - DPP	0,045	0,046
O	0,7*	1,27	0,002	0,003	0,3-2,0	N:53°07'39,7" E:23°06'08,8"	Upalna 74, pomiar przed budynkiem - DPP	0,045	0,046
P	0,7*	1,27	0,002	0,003	0,3-2,0	N:53°07'40,6" E:23°06'08,1"	Upalna 76, pomiar przed budynkiem - DPP	0,045	0,046
R	0,7*	1,27	0,002	0,003	0,3-2,0	N:53°07'41,5" E:23°06'07,4"	Upalna 78, pomiar przed budynkiem - DPP	0,045	0,046
S	0,7*	1,27	0,002	0,003	0,3-2,0	N:53°07'42,9" E:23°06'07,7"	Wincentego Witosa 23, pomiar przed budynkiem - DPP	0,045	0,046
T	0,7*	1,27	0,002	0,003	0,3-2,0	N:53°07'21,0" E:23°06'12,3"	Rumiankowa 10, pomiar przed budynkiem - DPP	0,045	0,046

Wynik pomiaru pole - E [V/m] - maksymalna wartość chwilowa zmierzona w danym pionie pomiarowym (uśredniona na podstawie punktu 11 Rozporządzenia Ministra Zdrowia).

Przyjęto najniższą dopuszczalną wartość składowej elektrycznej pola dla objętego pomiarami zakresu częstotliwości $\min(ME_{gr})= 28 \text{ V/m}$ oraz składowej magnetycznej $\min(MH_{gr})= 0,073 \text{ A/m}$.

* - wartość zmierzona poniżej zakresu akredytacji. Do obliczeń przyjęto wartość zgodną z dolną granicą akredytowanego zakresu pomiarowego metody.

GKP - główne kierunki pomiarowe

PKP - pomocnicze kierunki pomiarowe

DPP - dodatkowe punkty pomiarowe

PP - pion pomiarowy

U - niepewność pomiarowa rozszerzona, przy poziomie ufności 95%, z uwzględnieniem współczynnika rozszerzenia $k=2$

WM_E - wartość wskaźnikowa poziomu emisji pól elektromagnetycznych dla miejsc dostępnych dla ludności dla składowej elektrycznej pola

WM_H - wartość wskaźnikowa poziomu emisji pól elektromagnetycznych dla miejsc dostępnych dla ludności dla składowej magnetycznej pola

7. Stwierdzenie zgodności

Na podstawie wytycznych podanych w Rozporządzeniu Ministra Zdrowia z dnia 17 grudnia 2019 r. w sprawie dopuszczalnych poziomów pól elektromagnetycznych w środowisku (Dz.U. 2019 poz. 2448) oraz sposobów sprawdzania dotrzymania tych poziomów zgodnie z Rozporządzeniem Ministra Klimatu z dnia 17 lutego 2020 r. w sprawie sposobów sprawdzania dotrzymania dopuszczalnych poziomów pól elektromagnetycznych w środowisku (Dz.U. 2020 poz. 258) oraz Rozporządzeniem Ministra Klimatu i Środowiska z dnia 6 maja 2022 r. zmieniającego rozporządzenie w sprawie sposobów sprawdzania dotrzymania dopuszczalnych poziomów pól elektromagnetycznych w środowisku (Dz.U. 2022 poz. 1121), dotyczących źródła wymagań, które muszą być spełnione, w oparciu o zasadę podejmowania decyzji zgodną z pkt 26 Rozporządzenia Ministra Klimatu z dnia 17 lutego 2020 r. (Dz.U. 2020 poz. 258), na podstawie wyników pomiarów pól elektromagnetycznych wykonanych w dniu 15.09.2022 stwierdzono, iż w miejscach dostępnych dla ludności, dopuszczalne poziomy pól elektromagnetycznych w środowisku, określone w przepisach wydanych na podstawie art. 122 ust. 1 ustawy z dnia 27 kwietnia 2001 r. – Prawo ochrony środowiska, uznaje się za dotrzymane w obszarze pomiarowym, w którym w wyniku zastosowania sposobu sprawdzenia dotrzymania dopuszczalnych poziomów pól elektromagnetycznych w środowisku, udokumentowano, że żadna z wartości wskaźnikowych nie przekracza wartości 1.

8. Oświadczenie.

Wyniki badania odnoszą się wyłącznie do badanego obiektu.

Bez pisemnej zgody sprawozdanie nie może być powielane inaczej, jak tylko w całości.

Uwagi i zastrzeżenia przyjmowane są w formie pisemnej w ciągu 14 dni od daty otrzymania sprawozdania.

9. Spis załączników.

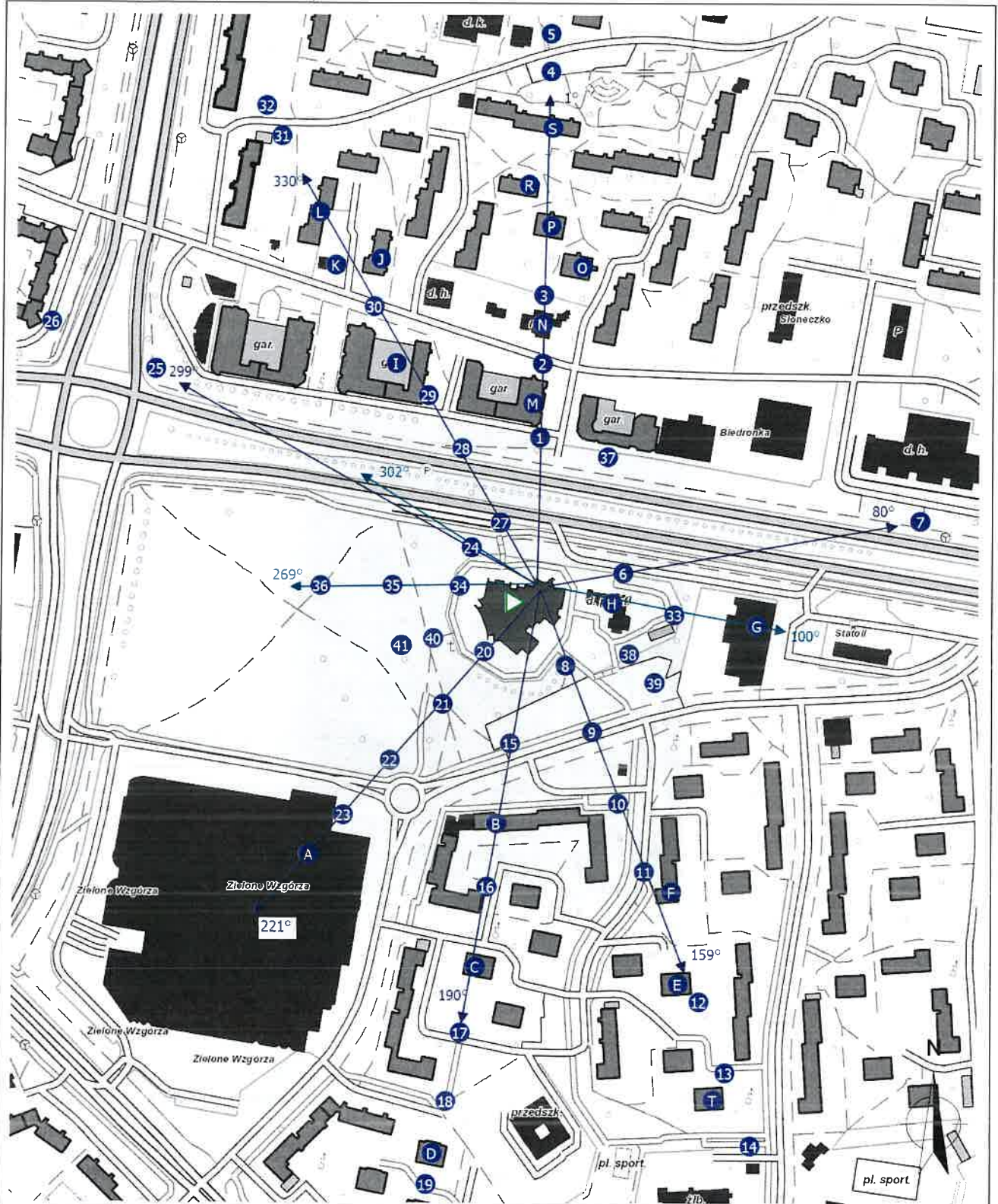
Zał. 1. Lokalizacja obiektu.

Zał. 2. Widok pionów pomiarowych

Zał. 3. Załączniki graficzne

Koniec sprawozdania

Zał. 2. Widok pionów pomiarowych



LEGENDA:

inna instalacja radiokomunikacyjna

brak dostępu

nr pion pomiaru

antena sektorowa

antena radioliowa

Skala:

1:5000



Załącznik 3. Załączniki graficzne.

